

大阪大学工学部 正員 伊藤富雄
大阪大学工学部 正員 久武勝保

A. 不足がき 都市の高度化に伴い地表面近くに開削されるトンネルが地表面の近く、さらには地上構造物に不深さをもたらすことが最近問題となってきた。自由表面とトンネル壁面の2つの境界を有する多連続問題を解くには一般的には大変困難であるが、多連続領域を単連続の状態領域と考え、Shwarz の鏡像原理を用いてそれぞれの境界に解析接続を行なうことで容易に解くことができる。以下においては重力場において、地表面近くに開削されるトンネルが周辺地盤にいかなる影響を与えるかを鏡像原理で解析し考察を行なう。

B. 解析の概要

重力場においてトンネルを開削する場合、トンネルの径に比して充分深い所にトンネルが開削されると、取り出しへより重力減少は無視出来るけれども浅い所に開削されるとき重力減少を考慮しなければならなくなる。重力減少を与える解析関数は、図-1 のように $F = \pi a^2 w$ の集中力を原点 O にて重力と反対方向に作用させ、かつ L_1 上の境界条件を満足する解析関数によって与えられる。原点に F を作用させた時の解析関数は、 $\begin{cases} \phi(z) = M \cdot \log z \\ \psi(z) = N \cdot z \cdot \log z \end{cases}$ である。 $M = -\frac{x+iy}{8(1-\nu)\pi}$, $N = \frac{3-4\nu}{8(1-\nu)\pi}(x-iy)$

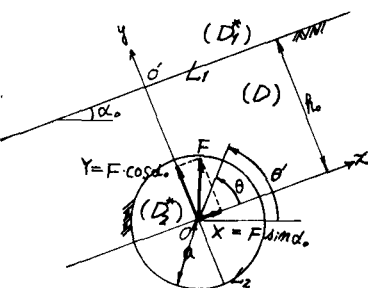


図-1

で与えられる。 L_1 上における自由境界は

$$\frac{\partial \phi}{\partial n} + \{z \cdot \phi'(z) + \phi(z)\} = 0. \quad (2)$$

で与えられるので今、 $\phi(z)$ を領域 (D) で次の様に定義する。 $\phi(z) = z \cdot \phi'(z) + \phi(z)$ (3)

境界 L_1 ($z-\bar{z} = 2iz_0$) を越えて (D^*) へ解析接続をするとことによって新しく加わる解析関数は

$$\begin{cases} \phi(z) = -\bar{\phi}_0(z) = -\bar{\phi}_0(z-2iz_0) = -2iz_0 \sqrt{z-2iz_0} - \sqrt{z} \log(z-2iz_0) \\ \phi'(z) = -\bar{\phi}'_0(z-2iz_0) - (z-2iz_0) \phi'_0(z) = -\sqrt{z} \log(z-2iz_0) - 2iz_0 \sqrt{z}/(z-2iz_0) \end{cases} \quad (4)$$

ここで境界 L_1 の境界条件を満足する重力減少を与える関数は、

$$\phi(z) = \phi_0(z) + \phi_1(z), \quad \phi'(z) = \phi'_0(z) + \phi'_1(z) \quad (5)$$

となる。そこで開削部の L_2 上の初期応力 σ_r, τ_{rz} を関数 (5) から導かれると σ_r, τ_{rz} とを加え合せて重力減少を考慮して初期応力 (5) 次の様に表されると。(5) に対して同様である)

$$\sigma_r + i\tau_{rz} = C_0 + \sum_{n=1}^{\infty} (C_n \cos n\theta + d_n \sin n\theta) \quad (C_n, d_n \text{ IT複素定数}) \quad (6)$$

トンネル開削による変位や応力乱れ (式 (6)) で与えられる垂直及びせん断応力と絶対値が同じで逆符号の応力を L_2 上に作用させ、かつ L_2 上の境界条件を満足させて得られる解析関数に (5) で与えられる。今 $\sigma_r^*, -\tau_{rz}^*$ を無限地山の L_2 上に作用させ、その境界を満足する解析関数を $\phi^*(z)$, $\phi'^*(z)$ とするとそれらは次の様に (7)

$$\begin{cases} \phi^*(z) = -\left[\frac{(C_0 + izd_0)}{8(1-\nu)} \cdot \log z - \sum_{n=1}^{\infty} \frac{C_n + id_n}{2} \cdot \frac{1}{z^{n-1}} \right] \\ \phi'^*(z) = -\left[-\frac{3-4\nu}{8(1-\nu)} (\bar{z}-i\bar{d}_0) \cdot \bar{z} \cdot \log \bar{z} + \bar{C}_0 \bar{d}_0 \cdot \bar{z} \cdot \log \bar{z} + \frac{C_0^2 + d_0^2}{2} \cdot \frac{1}{z^{2(1-\nu)}} \cdot \frac{C_1 + id_1}{2} - \frac{C_1 + id_1}{2} \cdot \frac{1}{z^2} \right] + \sum_{n=2}^{\infty} \frac{C_n^{n+2}}{2} \cdot \left(\frac{C_0 + id_0}{2} - \frac{C_n + id_n}{2(n+1)} \right) \cdot \frac{1}{z^n} \end{cases} \quad (7)$$

上述の様に領域 (D) 内で $\phi^*(z)$ を定義し、 L_2 上を越えて (D^*) へ解析接続するにとどり、 $\phi^*(z)$, $\phi'^*(z)$ が得られる。明らかに $\phi_0^*(z) + \phi_1^*(z)$, $\phi_0^*(z) + \phi_1^*(z)$ は L_2 上の境界条件を満足するけれども、附加関数 $\phi^*(z)$, $\phi'^*(z)$ は L_2 上の境界条件を乱すので、次にこれらを (D) 領域へ解析接続を試みる。その結果 $\phi_0^*(z)$, $\phi_1^*(z)$ を得る、次に $\phi_0^*(z)$, $\phi_1^*(z)$ を (D) へ ……といふように収束するまで解析接続を繰り返すと真の解析関数 (5) からの和として次の様に (8)

$$\phi^*(z) = \sum_{j=0}^{\infty} \phi_j^*(z), \quad \psi^*(z) = \sum_{j=0}^{\infty} \psi_j^*(z) \quad (8)$$

これより地山の性質及び応力乱れが計算され、この応力乱れと重力減少を考慮して初期応力を加え合てすこしよりトンネル開削後の応力が求まる。

C. 解析結果とその考察

図-2は地表面に沿うる変位成分 U_x, U_y を表わしたものである。地山が傾斜するにつれて U_y の絶対量はそれ程変化がないけれども U_x が大きくなることがわかる。垂直流下量 U_z は $d = U_x \cdot \sin \alpha + U_y \cdot \cos \alpha$ で与えられることとなり、この図から傾斜角が大きくなるにつれて地下水の最大量が0度より上部方向に移動してゆく。またその量も大きくなっている。また傾斜が増大していくと地表面下部においては U_y が正の値を取ることより、トンネル掘削によって地表面が4方向に盛り上がるという興味ある傾向が示されている。図-3(A)(B)はトンネル壁面の変位、 U_r, U_θ を表わしたものである。 U_r, U_θ もトンネル上半部の方が下半部に比較してかなり大きな変位が出ている。特に U_θ では上部山側の変位が傾きとともに影響を受けることがわかる。 U_r, U_θ とも、傾斜角の増加とともに下半部の変位出現が上半部方向に移動してゆく。図-4はトンネル中心から地表面までの距離 h/a とトンネル半径 a の関係が変位出現にいかで影響を及ぼすかを見た図である。トンネルが地表面に接近してくるにつれて U_r, U_θ とも底部においてその出現が早くなる反面上部に向いて増加していく。

D. 結語

鏡像原理によってトンネル周辺部の変位運動を調べてみると、自由表面とトンネル周辺にそれぞれ一回解析接続を行って解析関数を用いた。 $h/a = 2.0$ の場合に対して安藤、伊藤²⁾の応力値と一致したので二回の接続で充分精度が上げられるものと思う。また鏡像原理を用いてF.一般の多連続境界値問題を容易に解くことができる、この原理の利用価値は大きいものと思われる。

E. 参考文献

- 1) 春口繁一: 2次元弹性論、岩波講座、现代応用数学、1957,
- 2) 伊藤富雄: 傾斜面下に張ったトンネルの周辺応力について、土木学会誌 Vol. 36 - 2

